

## *p*-*T*-диаграмма состояния системы уран—азот

ПЕВИНСКИЙ Ю. В.

УДК 541.01.123:546.791

В системе уран — азот образуется ряд нитридов, имеющих значительную упругость диссоциации, поэтому фазовые равновесия целесообразно рассматривать с учетом давления. В этом случае весьма полезной может оказаться  $p$ - $T$ -диаграмма состояния, а также проекции линий одновариантных равновесий на плоскость давление — температура, или  $p$ - $T$ -диаграмма состояния. Впервые такая диаграмма предложена Баглом и Бауэром [1] без привязки к реальным значениям температуры и давления и без учета фазовых превращений урана и перехода  $\text{U}_2\text{N}_3(\text{ОЦК}) \rightleftharpoons \text{U}_2\text{N}_3(\text{ГПУ})$ . Появившиеся в последнее время многочисленные исследования равновесия системы уран — азот [2—14] позволяют предложить более полный и подробный вариант  $p$ - $T$ -диаграммы (рис. 1).

На рис. 1 кривая 1-6-7-10-13 представляет давление паров урана над твердыми и жидкими фазами урана [15], кривые 6-18; 7-20 и 10-24 представляют равновесия  $\alpha \rightleftharpoons \beta$ ,  $\beta \rightleftharpoons \gamma$  и  $\gamma \rightleftharpoons \chi$  соответственно. Точкой 16 обозначено безвариантное равновесие мононитрида урана с жидкостью  $\chi$  и газом  $\Gamma$ . Положение этой точки ( $T = 2850^\circ\text{C}$ ,  $p = 2,5 \text{ atm}$ ) приведено

по данным работы [1]. Кривая 16-11-8 является проекцией на плоскость  $p$ - $T$  изобар-изотерм трехфазного равновесия богатого ураном мононитрида с жидкостью и газом. Положение этой кривой определяется данными работ [1, 3, 6, 16]. Кривые 16-11-8 и 10-13 пересекаются при  $T \approx 1900^\circ\text{C}$  и  $p \approx 10^{-5}$  атм. Это означает, что при температурах выше  $1900^\circ\text{C}$  общее равновесное давление пара над мононитридом выше, а при  $T < 1900^\circ\text{C}$  ниже, чем над чистым жидким ураном. Такое положение может возникнуть только при наличии у фазы UN конгруэнтно испаряющегося состава. Конгруэнтно испаряющаяся фаза имеет на  $p$ - $T$ -диаграмме собственную кривую 5-11, которая на рис. 1 нанесена ориентировочно.

Так как азот очень мало влияет на температуру плавления и температуры фазовых превращений урана, то кривые 8-10; 3-7 и 2-6 равновесия твердого раствора азота в  $\gamma$ -,  $\beta$ - и  $\alpha$ -уране с жидкостью, газом и друг с другом располагаются практически вертикально, а кривые равновесий  $\gamma\text{-U} \rightleftharpoons \text{UN} \rightleftharpoons \text{Ж}$  (8-23),  $\beta\text{-U} \rightleftharpoons \gamma\text{-U} \rightleftharpoons \text{UN}$  (3-21) и  $\alpha\text{-U} \rightleftharpoons \beta\text{-U} \rightleftharpoons \text{UN}$  (2-19) почти сливаются с кривыми 6-18; 7-20 и 10-24 равновесий чистого урана.

Кривая 15-16 представляет трехфазное равновесие мононитрида урана, богатого азотом, с жидкостью и газом. Эта кривая находится при давлениях, больших 2,5 атм. Точка 15 соответствует безвариантному равновесию мононитрида урана, фазы  $U_2N_3$  (ГПУ), жидкости и газа. Кривые 15-14 и 15-12 представляют равновесие  $U_2N_3$  (ГПУ) с жидкостью и газом и с мононитридом урана и газом. Причем в первом случае  $U_2N_3$  (ГПУ) предельно насыщен азотом, а во втором случае — ураном. Кривая 15-12-9 соответствует давлению разложения  $U_2N_3$ . Данные для построения этой кривой (если пренебречь парциальным давлением урана в газовой фазе) в области температур 840—1345° С взяты из работ [1, 12] и экстраполированы в область более низких температур.

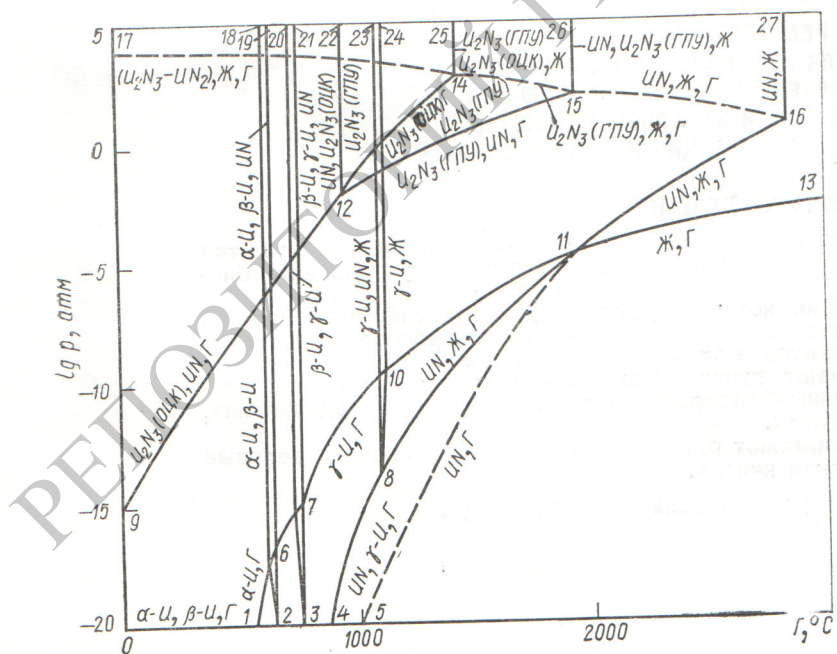
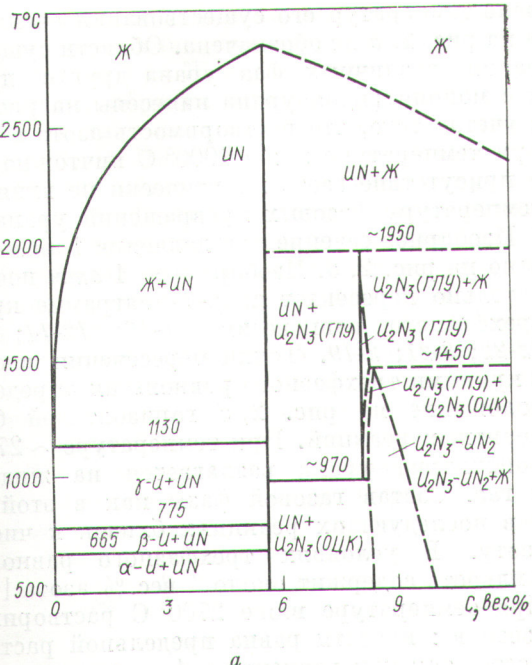


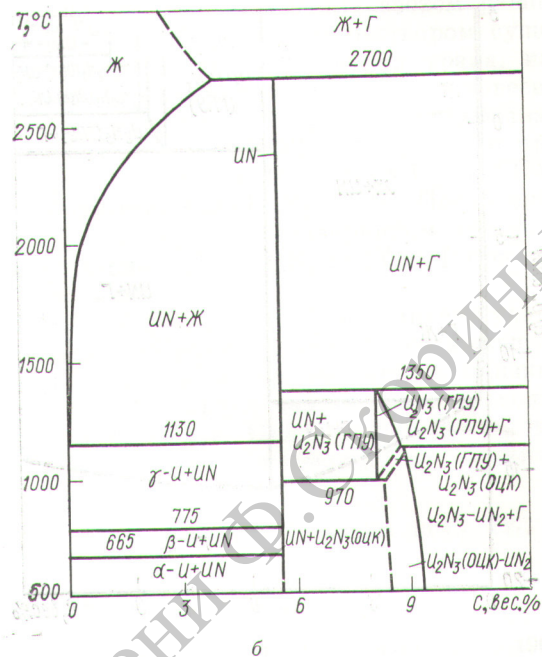
Рис. 1.  $p$ - $T$ -диаграмма состояния системы уран — азот.



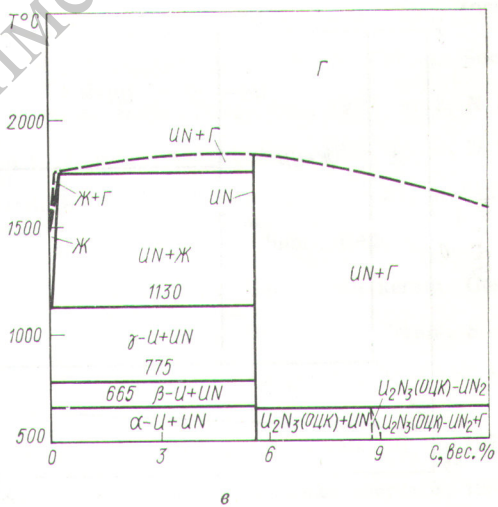
а

Точка 12 лежит в области температуры  $\sim 970^\circ\text{C}$  и давления  $1 \cdot 10^{-2}$  атм. Кривая 12-14 равновесия  $\text{U}_2\text{N}_3(\text{ГПУ}) \rightleftharpoons \text{U}_2\text{N}_3(\text{ОЦК}) - \Gamma$  проходит через точку с координатами:  $p = 1$  атм,  $T = 1150^\circ\text{C}$ . Кривые 15-14 и 14-17 равновесия предельно насыщенных азотом фаз  $\text{U}_2\text{N}_3(\text{ГПУ})$  и твердого раствора  $\text{U}_2\text{N}_3(\text{ОЦК}) - \text{UN}_2$  с жидкостью и газом нанесены ориентировочно. Очевидно, эти кривые лежат в области давлений  $10^2 - 10^4$  атм. Плавлению мононитрида урана и разложению нитридов  $\text{U}_2\text{N}_3(\text{ГПУ})$  и  $\text{U}_2\text{N}_3(\text{ОЦК})$  с образованием жидкости соответствуют кривые 16-27, 15-26 и 14-25, а равновесному превращению в твердой фазе  $\text{UN} \rightleftharpoons \text{U}_2\text{N}_3(\text{ГПУ}) \rightleftharpoons \text{U}_2\text{N}_3(\text{ОЦК})$  соответствует кривая 12-22.

Рассмотрим некоторые характерные изобарные и изотермические сечения диаграммы состояния системы уран — азот. Изобарное сечение при  $p \gg 1$  атм, т. е. при давлении, когда все фазы в обозначенном на рис. 1 интервале температур находятся в конденсированном состоянии, показано на рис. 2, а. При высоком давлении азота мононитрид урана плавится кинетично. Нитрид урана  $\text{U}_2\text{N}_3(\text{ГПУ})$  образуется при температуре  $\sim 1950^\circ\text{C}$  по реакции  $\text{UN} \rightleftharpoons \text{Ж} \rightleftharpoons \text{U}_2\text{N}_3(\text{ГПУ})$ , а разлагается при температуре  $\sim 970^\circ\text{C}$  по реакции  $\text{U}_2\text{N}_3(\text{ГПУ}) \rightleftharpoons \text{U}_2\text{N}_3(\text{ОЦК}) \rightleftharpoons \text{UN}$ . Нижняя граница области гомогенности этой фазы соответствует содержанию  $\sim 8$  вес. % азота. При температуре



б



в

Рис. 2. Изобарные сечения диаграммы состояния системы уран — азот при давлении, намного большем 1 атм (а): равном 1 (б) и  $10^{-6}$  атм (в) (С — содержание азота, вес. %).

$\sim 1450^\circ\text{C}$  по реакции  $\text{U}_2\text{N}_3(\text{ГПУ}) \rightleftharpoons \text{Ж} \rightleftharpoons \text{U}_2\text{N}_3(\text{ОЦК})$  образуется фаза  $\text{U}_2\text{N}_3(\text{ГПУ}) - \text{UN}_2$ . Между фазами  $\text{U}_2\text{N}_3(\text{ГПУ})$  и  $\text{U}_2\text{N}_3(\text{ОЦК})$  расположена узкая двухфазная область. Верхние пределы области гомогенности нитридов  $\text{U}_2\text{N}_3(\text{ГПУ})$  и  $\text{U}_2\text{N}_3(\text{ОЦК}) - \text{UN}_2$  соответствуют предельно насыщенным азотом фазам, т. е. представляют собой проекции линий максимальной растворимости на плоскость температура — состав.

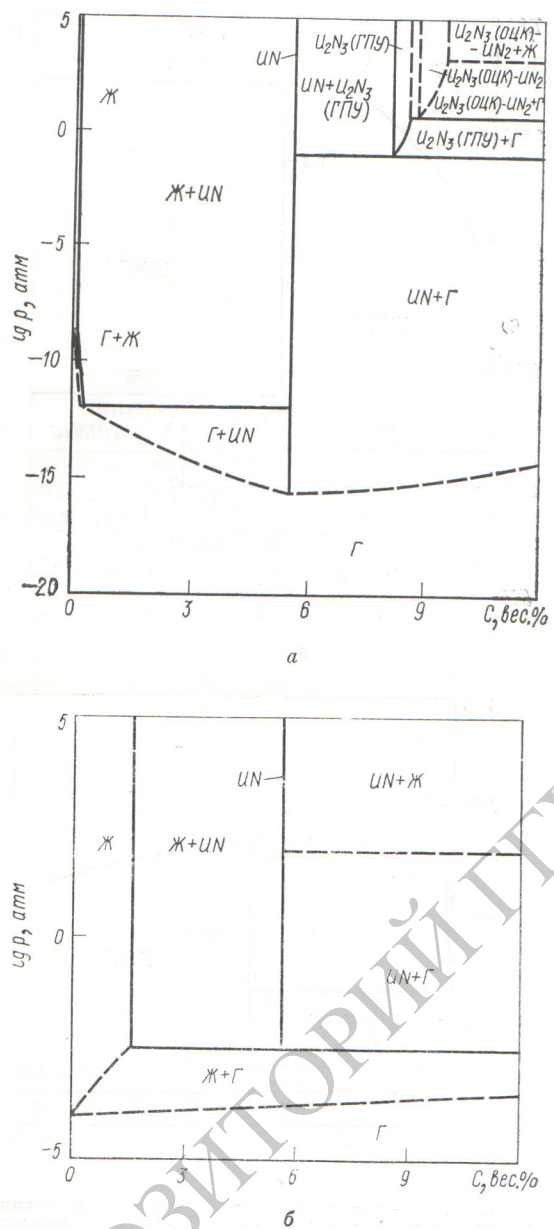


Рис. 3. Изотермические сечения диаграммы состояния системы уран — азот при температуре 1200° (а) и 2200° (б).

При высоких температурах мононитрид урана находится в равновесии с жидкостью, богатой ураном, и жидкостью, богатой азотом. Граница растворимости урана в последней жидкости нанесена на рис. 2, а ориентировочно, а граница растворимости азота в жидким уране построена в соответствии с данными работ [1, 2]. Область гомогенности мононитрида урана во всем интер-

вале температур его существования очень узка и на рис. 2, а не обозначена. Области существования различных фаз урана друг с другом и с мононитридом урана нанесены на рис. 2, а с учетом того, что растворимость азота в уране при температуре ниже 1000° С ничтожно мала и присутствие азота практически не влияет на температуру фазовых превращений урана.

Изобарное сечение при давлении 1 атм показано на рис. 2, б. Изобара  $p = 1 \text{ atm}$  последовательно пересекает на  $p$ - $T$ -диаграмме кривые трехфазного равновесия 11-16; 12-14; 8-13; 12-22; 3-21; 2-19. Точки пересечения изобары с кривыми трехфазного равновесия определяют положение на рис. 2, б горизонталей безвариантных реакций. При температуре  $\sim 2700^{\circ} \text{ С}$  мононитрид урана разлагается на жидкость и газ. Состав газовой фазы как в этой, так и в последующих реакциях близок к чистому азоту. В условиях трехфазного равновесия жидкость содержит около 4 вес. % азота [1, 2]. При температуре ниже 2700° С растворимость азота в жидкости равна предельной растворимости, так как давление в 1 атм выше равновесного давления азота над предельно насыщенными азотом жидкими растворами.

Реакция  $\text{UN} \rightleftharpoons \text{U}_2\text{N}_3(\text{GPU}) \rightleftharpoons \text{Г}$  протекает при температуре  $\sim 1350^{\circ} \text{ С}$ . При этой температуре нитрид  $\text{U}_2\text{N}_3(\text{GPU})$  содержит  $\sim 8$  вес. % азота. Хотя мононитрид урана имеет очень узкую область гомогенности, ее все же можно оценить, используя, например, данные работы [5]. Так, при  $1350^{\circ} \text{ С}$  мононитрид урана гомогенен в области  $\text{UN}_{0,995} — \text{UN}_{0,998}$ .

При температурах  $\sim 1100$  и  $\sim 970^{\circ} \text{ С}$  происходят превращения  $\text{U}_2\text{N}_3(\text{GPU}) \rightleftharpoons \text{U}_2\text{N}_3(\text{OЦК}) \rightleftharpoons \text{Г}$  и  $\text{U}_2\text{N}_3(\text{GPU}) \rightleftharpoons \text{U}_2\text{N}_3(\text{OЦК})$ . Однофазные области существования  $\text{U}_2\text{N}_3(\text{GPU})$  и  $\text{U}_2\text{N}_3(\text{OЦК})$  разделены узкой двухфазной областью. Предельная растворимость азота в фазах  $\text{U}_2\text{N}_3(\text{GPU})$  и  $\text{U}_2\text{N}_3(\text{OЦК})$  показана по данным работы [1]. При 1345 и  $700^{\circ} \text{ С}$  предельная растворимость азота составляет 8,35 и 9,05 вес. % соответственно.

Изобарное сечение  $p = 10^{-6} \text{ atm}$  пересекает кривые трехфазного равновесия 8-11; 8-23; 3-21; 9-12; 2-19, двухфазного равновесия мононитрида урана с газом 5-11 и двухфазного равновесия чистого урана 10-24; 7-20; 6-18 (см. рис. 1). Это сечение представлено на рис. 2, в. Отличительной чертой диаграммы при  $p = 10^{-6}$  является поведение мононитрида урана. При температурах выше точки 11, т. е. в области, где давление газа над чистым ураном ниже равновесного давления разложения богатого ураном мононитрида, мононитрид урана не существует.

нитрида, или, другими словами, температура кипения урана выше температуры трехфазного равновесия  $\text{UN} \rightleftharpoons \text{Ж} \rightleftharpoons \text{Г}$ , мононитрид урана разлагается, образуя жидкость, обогащенную ураном, и газ, по составу близкий к азоту (см. рис. 2, б). Иная картина наблюдается при температурах ниже точки пересечения кривых 8-16 и 10-13. В этой области безвариантное равновесие жидкости и газа с богатым ураном мононитридом отмечается при температурах более высоких, чем испарение урана. Такое положение может быть только в том случае, если один из составов, находящихся в области гомогенности, испаряется конгруэнтно. Сплавы, находящиеся левее конгруэнтного состава (обогащенные ураном), но не выходящие из области гомогенности мононитрида, испаряются неконгруэнтно: газовая фаза обогащена ураном. Сплавы правее этого состава (обогащенные азотом) испаряются с преимущественным выделением азота. Если  $p = 10^{-6}$  атм, безвариантная реакция  $\text{UN} \rightleftharpoons \text{Ж} \rightleftharpoons \text{Г}$  проходит при температуре  $\sim 1750^\circ\text{C}$ , т. е. примерно на  $150^\circ$  более высокой, чем температура испарения урана. С уменьшением давления и увеличением температурного интервала между кривыми 8-11 и 10-11 газовая фаза, находящаяся в равновесии с богатым ураном мононитридом, будет все более обогащаться ураном.

При давлении  $10^{-6}$  атм фаза  $\text{U}_2\text{N}_3$  (ГПУ) является нестабильной. Фаза  $\text{U}_2\text{N}_3$  (ОЦК) при температуре  $\sim 650^\circ\text{C}$  разлагается, образуя мононитрид и газ, по составу близкий к чистому азоту.

Схемы изотермических сечений  $p$ - $T$ -диаграммы при температурах  $1200$  и  $2200^\circ\text{C}$  показаны на рис. 3. При  $1200^\circ\text{C}$  (см. рис. 3, а) мононитрид урана определенного состава испаряется конгруэнтно, создавая равновесное давление  $\sim 10^{-20}$  атм. Мононитрид, насыщенный ураном, разлагается неконгруэнтно, а образуя жидкость и газ, обогащенные ураном. Трехфазное равновесие  $\text{UN} \rightleftharpoons \text{Ж} \rightleftharpoons \text{Г}$  наблюдается при  $p \approx \sim 10^{-22}$  атм. Это давление примерно на три порядка меньше давления пара над чистым жидким ураном при  $1200^\circ\text{C}$ . Следовательно,

при насыщении жидкого урана азотом равновесное давление над жидким раствором существенно уменьшается. Мононитрид урана, насыщенный азотом, находится в равновесии с газом и нитридом  $\text{U}_2\text{N}_3$  (ГПУ). Трехфазная реакция  $\text{UN} \rightleftharpoons \text{U}_2\text{N}_3$  (ГПУ)  $\rightleftharpoons \text{Г}$  протекает при  $p \approx 0,1$  атм. При  $p \approx 10$  атм из  $\text{U}_2\text{N}_3$  (ГПУ) и газа образуется фаза  $\text{U}_2\text{N}_3$  (ОЦК). Последняя, вероятно, участвует в безаварийном трехфазном равновесии  $\text{U}_2\text{N}_3$  (ОЦК)  $\rightleftharpoons \text{Ж} \rightleftharpoons \text{Г}$  при высоком давлении.

При  $2200^\circ\text{C}$  (см. рис. 3, б) мононитрид урана разлагается, образуя жидкость, содержащую  $\sim 1,5$  вес.% азота, и газ, по составу близкий к азоту. Эта безвариантная реакция проходит при  $p \approx 3 \cdot 10^{-3}$  атм. При высоких давлениях возможно появление жидкости по реакции  $\text{UN} \rightleftharpoons \text{Г} \rightleftharpoons \text{Ж}$ .

Поступила в Редакцию 19/IX 1973 г.

#### СПИСОК ЛИТЕРАТУРЫ

1. Bugl J., Bauer A. J. Amer. Ceram. Soc., 1964, v. 47, p. 425.
2. Benz R., Bowman M. J. Amer. Chem. Soc., 1966, v. 88, N 2, p. 264.
3. Inouye H., Leitnaker J. J. Amer. Ceram. Soc., 1968, v. 52, N 11, p. 6.
4. Benz R. e. a. High. Temp. Sci., 1970, v. 2, N 3, p. 221.
5. Hoenig C. J. Amer. Ceram. Soc., 1971, v. 54, N 8, p. 391.
6. Gingerich K. J. Chem. Phys., 1969, v. 51, p. 4433.
7. Alexander C. e. a. J. Nucl. Mater., 1969, v. 31, p. 13.
8. Price C., Warren I. Inorg. Chem., 1965, v. 4, N 1, p. 115.
9. Stoecker H., Naomidis A. Ber. Dtsch. keram. Ges., 1966, B. 43, N 12, S. 724.
10. Naomidis A., Stoecker H. Proc. Brit. Ceram. Soc., 1967, v. 8, p. 193.
11. Sasa Y., Atoda T. J. Amer. Ceram. Soc., 1970, v. 53, N 2, p. 102.
12. Tagawa H. J. Nucl. Mater., 1971, v. 41, p. 313.
13. Berthold H. e. a. Ber. Dtsch. keram. Ges., 1973, B. 50, S. 111.
14. Андреевский Р. А. и др. «Атомная энергия», 1969, т. 26, вып. 6, с. 494.
15. Несмеянов А. Н. Давление пара химических элементов. М., Изд-во АН СССР, 1961.
16. Olson W., Mulford R. J. Phys. Chem., 1963, v. 67, p. 952.